

# Disková akrece

EP 25  
(AGN 8)

- $\rho$  v rovinech  $\perp \hat{z}$  - vlnkový moment hybnosti
- korekce  $\mu$  mit  $\rightarrow$  Eddingtonovská luminositivita
- tenké disky:  $v_\phi \gg v_r \gg v_z \rightarrow$  rotace i vel. (vln. středně vel.  $H$ )
- zjednodušená představa: pohybování částic mezi dvěma blízkými poloměry  $\rightarrow$  přenos momentu hybnosti a energie

částice A na  $R$ :  $\ell = R^2 \Omega(R) \rightarrow$  moment hybnosti přinesený  
na  $rd. R+dR = (R+dR) R \Omega(R)$

B na  $R+dR$ :  $2 (R+dR)^2 \Omega(R+dR) \rightarrow$  přinesl se  $R$ :  $R(R+dR) \Omega(R+dR)$

$\rightarrow$  bilance na  $rd. R$ :  $d\ell = R(R+dR) [\Omega(R+dR) - \Omega(R)]$

char. časová škála proom odvození rychl. změny  $\dot{G} \sim \frac{R}{\tau} \approx \frac{R}{\tau_p}$

viskozita  $\sim 2\pi R H \rho$

$\rightarrow$  přenos momentu hybnosti  $\dot{G}$  i:  $\dot{G} \approx 2\pi R H \rho \frac{d\ell}{dr} = 2\pi R H \rho \frac{d}{dr} [R(R+dR) (\Omega(R+dR) - \Omega(R))]$

$$\dot{G} \approx 2\pi R H \rho \frac{d}{dr} [R(R+dR) (\Omega(R+dR) - \Omega(R))]$$

$$= \sum \left[ \frac{d}{dr} (R^2 \Omega) \right] = R^2 \frac{d\Omega}{dr} = d\ell$$

kinem. viskozita  $\nu = G_0 dR \rightarrow$

$$G(r) = 2\pi r^3 \nu \frac{d\Omega}{dr} \quad \left( \frac{d\ell}{dr} \equiv \dot{G}' \right)$$

• podání  $\dot{G}$  dostal přenos (kin.) energie  $\dot{E} = \Omega \dot{G}$

• viskozita

- mikro-turbulence - dvojvrstvá
- MRI - AGN, kompaktní objekty
- globální nestabilita/stabilita (gal. disky)

• kinomenologický popis  $\nu = \alpha H c_s$

$$\frac{M_{\text{visk}}}{M_{\text{disk}}} \approx \frac{2\pi R H \rho}{M_{\text{disk}}} \approx \frac{2\pi R H \rho}{2\pi R \Sigma} \approx \frac{H}{2R} \approx \frac{c_s}{2v_\phi}$$

In my simulations I consider only the second mechanism. I suppose the transfer of the state to  $\dot{G}$  from on the hypothesis  $\dot{G} = 0$  in the phase space. After the first passage through the first transition becomes dipolar and evolves roughly in the same manner, as in the Blandford's simulations and it becomes

• predpoklad k hydrodynamice -

kvadraticke konstante na elemente  $\sim$  prskanie  $(R, R+dk)$

$$G(R+dk) - G(R) = \frac{\partial G}{\partial R} dk$$

výhon torzních síl  $= \int \frac{\partial G}{\partial R} dk = \left[ \frac{\partial}{\partial R} (G \mathcal{L}) - C \mathcal{L}' \right] dk$

integrácia pres celú disk:

$$\dot{E} = G \mathcal{L} \Big|_{R_{in}}^{R_{out}} - C \mathcal{L} \Big|_{R_{in}}^{R_{out}} - \int_{R_{in}}^{R_{out}} G \mathcal{L}' dk$$

kolíska disperzia  
torzní moment  
disk

→ kolíska disperzia na jednotku povrchu ( $\frac{1}{2} \ll R \ll 2$  parov):

$$D(R) \equiv \frac{G \mathcal{L}'}{4\pi R} = \frac{1}{2} v \Sigma (R' R)^2$$

• rovnica kontinuity

$$R \frac{\partial \Sigma}{\partial t} + \frac{\partial}{\partial R} (R \Sigma v_R) = 0$$

• Euler

$$R \frac{\partial}{\partial t} (R \Sigma v_R) + \frac{\partial}{\partial R} (R^2 \Sigma v_R v_R) = \frac{1}{2\pi} \frac{\partial G}{\partial R} (G = 2\pi R^2 v \Sigma \frac{d\mathcal{L}}{dR})$$

• mixovaná predchodila:

$$R \Sigma v_R (R^2 \mathcal{L}') = \frac{1}{2\pi} \frac{\partial G}{\partial R} \rightarrow \text{zväčšujú do kontinuity} \rightarrow$$

$$R \frac{d\Sigma}{dt} = - \frac{\partial}{\partial R} \left[ \frac{1}{2\pi (R^2 \Sigma)} \frac{\partial G}{\partial R} \right]$$

•  $\Theta$  def.  $G$  a Keplerovskí  $\mathcal{L} \rightarrow$

$$\frac{d\Sigma}{dt} = \frac{3}{R} \frac{\partial}{\partial R} \left[ R^{3/2} \frac{\partial (v \Sigma R^{1/2})}{\partial R} \right] = \text{vee rad. struktúry disk}$$

- rovnica radiačnej teplo  $\rightarrow$  viskoz. hust. prskanie

- char. čas. škála  $t_{vis} \approx R^2/v$

- polud x ohvaj. pohybú sa mení, rovnováha, minime dážď

$\checkmark$  uwhilenan ohreji,  $\text{ti. } \frac{\partial}{\partial t} = 0$

• ustálená hmotnost ( $\frac{\partial}{\partial t} = 0$ )

EP 27  
(AGN 10)

Kontinuita:  $\dot{M} = -2\pi R Z v_R = \text{const.}$

$$R^2 Z v_R v_\phi = \frac{G}{2\pi} + \text{const.}/2\pi$$

(na ale sput jeh  
u DU, tak u  
hvězd s poroben)

• ležící vnější okraj, podmínka:  $\mathcal{L}'(R_* + b) = 0$

$$C = 2\pi R Z v_R R^2 \Omega \Big|_{R_*+b} = -\dot{M} R^2 \Omega \Big|_{R_*+b} \approx -\dot{M} \sqrt{GM_* R_*}$$

dosadit ze  $G = 2\pi R^2 v Z \mathcal{L}' \oplus \mathcal{L}' = -\frac{3}{2} \frac{\sqrt{GM_*}}{R^{5/2}}$

$$\Rightarrow v Z = \frac{\dot{M}}{3\pi} \left(1 - \sqrt{\frac{R_*}{R}}\right)$$

$$D(R) = D_0 \left(\frac{R}{R_*}\right)^{-3} \left(1 - \sqrt{\frac{R_*}{R}}\right), \quad D_0 \equiv \frac{3GM_* \dot{M}}{8\pi R_*^3}$$

$$L_{\text{disk}} = 2 \int_{R_*}^{\infty} 2\pi R D(R) dk = \frac{GM_* \dot{M}}{2R_*} = \frac{1}{2} L_{\text{acc}}$$

• obydou vnější část vnějšího disku, polárního uzoru.  $\rho \propto R^{-2}$   
vlnic a proměnných

- vzt. Euler:  $\frac{1}{\rho} \frac{\partial p}{\partial z} = -\frac{GM_* z}{(R^2 + z^2)^{3/2}} \approx \frac{GM_* z}{R^3}$

-  $\oplus \rho \approx c_s^2 \rho$   
 $\oplus \frac{\partial p}{\partial z} \approx \frac{v}{H}$

$\rightarrow H(R) \approx c_s R \sqrt{\frac{R}{GM_*}}$

(pod. pro hmot. disk  $\frac{v}{c_s} \approx \frac{R}{H} \gg 1$ )

- stavová rovnice:  $p \approx \frac{\rho k_B T}{\mu m_p} + \frac{4\sigma_B}{3c} T^4$

( $\mu \equiv$  spr. molekulární váhová konstanta = 1 pro neutrální,  $1/2$  pro plá ioniz.)

- ve vnější části:  $F(z) = -\frac{16\sigma_B T^3}{3c} \frac{\partial T}{\partial z}$

opticky lesklý disk;  $\kappa = \rho H \alpha_c = 2\alpha_c$

romadna  $D(R) = F(H) - F(0) \rightarrow \frac{4\sigma_B}{3c} T_c^4 = D(R)$

$\left( T \frac{\partial T}{\partial z} = \frac{1}{4} \frac{\partial T^4}{\partial z}, T_c \gg T_s \right)$

BB:  $\frac{4\sigma_B}{3} T_s^4 = D(R) \oplus \kappa \gg 1 \rightarrow T_c \gg T_s$

Sonitvan rovnice poplíných standardní leuS dleš

(jednu z mnoha možných zřipič)

↳ keplerovš, optič, thipš

$$(1) \Sigma = \rho H$$

$$(2) H = c_s R \sqrt{\frac{R}{G \Pi_0}}$$

$$(3) c_s^2 = p / \rho$$

$$(4) p = \frac{\rho k_B T_c}{\mu m_p} + \frac{4 \sigma_0}{3c} T^4$$

$$(5) \frac{4 \sigma_0 T^4}{3c} = \frac{3 G \Pi_0 \dot{\rho}}{8 \pi R^2} \left(1 - \sqrt{\frac{R_x}{R}}\right)$$

$$(6) \kappa = \Sigma \alpha(\rho, T_c)$$

$$(7) v \Sigma = \frac{\dot{\rho}}{3 \pi} \left(1 - \sqrt{\frac{R_x}{R}}\right)$$

$$(8) v = v(\rho, T_c, \dots) = \alpha c_s H$$

- 8 rovnice pro 8 neznámých  $\rho, \Sigma, H, c_s, r, T_c$  a  $\kappa$

- parametry  $\Pi_0, \dot{\rho}, \alpha$  (a přivede další, vzhledující v konkrétním tvaru  $\alpha(\dots)$  a  $v(\dots)$ )

Pr. řešení pro tlakem. plynu dominantní disk ( $\rho = \frac{\rho k_B T_c}{\mu m_p}$ )

s. Kramersova opacita (free-free scattering, b.

rozptyl fotoni na volných  $e^-$  v polí  $p$ , b. inverzní

proces k thermal bremsstrahlung - viz. EP2)

$$\kappa_{\kappa} \approx 0,63 \times 10^{23} \left(\frac{\rho}{g/cm^3}\right) \left(\frac{T_c}{K}\right)^{-9/2} \text{ cm}^2 g^{-1} \equiv \alpha_0 \rho T^{-9/2}$$

$$(5) + (6) : 4 \sigma_0 T^4 = 3 \Sigma \alpha_0 \rho T^{-9/2} \frac{3 G \Pi_0 \dot{\rho}}{8 \pi R^2} f^4 \quad (f \equiv (1 - \sqrt{\frac{R_x}{R}})^{1/4})$$

$$(3) + (4) : c_s^2 = \frac{k_B T}{\mu m_p}$$

$$(1) + (2) + (3) + (4) : \rho = \frac{\Sigma}{H} = \Sigma \dot{\rho}^{2/3} \sqrt{G \Pi_0} T^{-1/2} \left(\frac{k_B}{\mu m_p}\right)^{-1}$$

(1) + (2) + (3) + (4) + (5) + (6):

$$4 \sigma_0 T^4 = 3 \Sigma^2 \alpha_0 R^{-2/3} \sqrt{G \Pi_0} T^{-9/2} \left(\frac{k_B}{\mu m_p}\right)^{-1} \frac{3 G \Pi_0 \dot{\rho}}{8 \pi R^2} f^4$$

$$T^8 = \frac{9}{4} \Sigma^2 \dot{\rho}^{-2/3} \frac{\alpha_0}{\sigma_0} \frac{(G \Pi_0)^{3/2}}{8 \pi} \dot{\rho}^4 \left(\frac{k_B}{\mu m_p}\right)^{-1} \quad (*)$$

$$(8) + (7) : \alpha H c_s \Sigma = \frac{\dot{\rho}}{3 \pi} f^4$$

$$(8) + (7) + (2) : \alpha c_s \dot{\rho}^{2/3} (G \Pi_0)^{-1/2} \Sigma = \frac{\dot{\rho}}{3 \pi} f^4$$

$(8+7+2) + (3+4) :$

$$R^{3/2} \propto \frac{k_B T}{\mu n_r} (en_0)^{-1/2} \Sigma = \frac{\dot{n}}{3\pi} \dot{\tau}^4$$

$$T = \Sigma^{-1} R^{-3/2} \propto^{-1} \left(\frac{k_B}{\mu n_r}\right)^{-1} (en_0)^{1/2} \frac{\dot{n}}{3\pi} \dot{\tau}^4 \quad (**)$$

(\*) + (\*\*):

$$\frac{9}{4} \Sigma^2 R^{-3/2} \frac{\kappa_0}{\epsilon_0} \frac{(en_0)^{3/2}}{8\pi} \dot{n} \dot{\tau}^4 \left(\frac{k_B}{\mu n_r}\right)^{-1} = \Sigma^{-1} R^{-2/2} \propto^{-1} \left(\frac{k_B}{\mu n_r}\right)^{-1} (en_0)^{3/2} \left(\frac{\dot{n}}{3\pi}\right)^3 \dot{\tau}^{32}$$

$$\Sigma^{10} = \frac{4}{9} R^{-15/2} \propto^{-1} (en_0)^{5/2} \frac{8\pi}{(3\pi)^3} \dot{n}^7 \dot{\tau}^{28} \left(\frac{k_B}{\mu n_r}\right)^{-7}$$

$$\Sigma \propto R^{-4/5} R^{-3/4} n^{1/4} \dot{n}^{7/10}$$

$$T \propto R^{3/5} R^{-3/4} n^{1/4} \dot{n}^{3/10}$$

⋮

• další verze std. disk:

$P = P_{\text{pas}}, \quad \kappa_T = 0,4 \text{ cm}^2 \text{ g}^{-1}$  (Thomsonův rozptyl na volných  $e^-$ , viz. EP3)  
 $P = P_{\text{rad}}, \quad \kappa_T = 0,4 \text{ cm}^2 \text{ g}^{-1}$

Spektrum SS disku

• z pohledu pozorovatele, který není schopen rozlišit jednotlivé emisi disku  $\rightarrow F_\nu$  měření u něj bude

$$F_\nu \propto \int_{\nu_0}^{\nu_1} I_\nu R dR = \text{tok jedn. plochy za jedn. času na jedn. frekvenci}$$

- porovnáme-li změnu frekvence v důsledku relativity, bude  $I_\nu = I_{\nu'} \frac{\nu'}{\nu}$
- necht je  $I_\nu$  na každém  $R$  izotropní BB (obecně s rozdílnou teplotou); to je v první přiblížení oprávněný předp. pro opticky tlustší disky, tj. zvl. v kinodyn. rovnováze

$$I_\nu = \frac{2h}{c^2} \frac{\nu^3}{\exp[h\nu/k_B T] - 1}$$

$$F_\nu \propto \nu^3 \int_{x_i}^{x_0} \frac{R dR}{e^{\frac{h\nu}{k_B T}} - 1}, \quad T = T(R) \propto R^{-1/4}$$

$$x \equiv \frac{h\nu}{k_B T} \propto \frac{h\nu}{k_B} R^{1/4} \quad R dR \propto x^{8/3-1} \nu^{-8/3} dx$$

$$F_\nu \propto \nu^{3-8/3} \int_{x_i}^{x_0} \frac{x^{8/3-1}}{e^x - 1} dx \quad x_i \equiv \frac{h\nu}{k_B T_i} \ll x_0 \equiv \frac{h\nu}{k_B T_0}$$

a) pro  $\frac{h\nu}{k_B T_0} \ll 1$  (tj.  $\frac{h\nu}{k_B T} \ll 1$ , protože  $T \geq T_0$ )

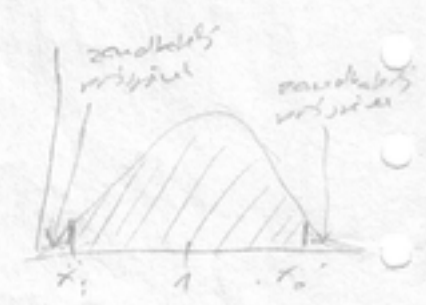
$$e^x - 1 \approx x \rightarrow F_\nu \propto \nu^{3-8/3} \int_{x_i}^{x_0} x^{8/3-2} dx \propto \nu^{3-8/3} [x^{8/3-1}]_{x_i}^{x_0}$$

pro  $8/3-1 > 0$  :  $x_i^{8/3-1} < x_0^{8/3-1} \rightarrow F_\nu \propto \nu^2 \frac{1}{T_0}$

? s kým si vezmeme křivku (max.  $\nu$ )

b)  $h\nu_{T_0} < h\nu < h\nu_{T_i}$  ( $x_0 > 1 > x_i$ )

$$\rightarrow \int_{x_i}^{x_0} \frac{x^{8/3-1}}{e^x - 1} dx \approx \int_0^{x_0} \frac{x^{8/3-1}}{e^x - 1} dx = \text{const.}$$



$$\rightarrow F_\nu \propto \nu^{3-8/3}$$

- pro námi odvozi: si odleh :  $\beta = 3 \rightarrow F_\nu \propto \nu^{1/3}$

c) pro  $\frac{h\nu}{k_B T} \gg 1$  se říká, že  $F_\nu \propto \nu^3 e^{-\frac{h\nu}{k_B T}}$ , ale nepodařilo se mi to důvěryhodně odvodit

